

برآورد نشت سطحی در تونل بزرگراهی نیایش با استفاده از روش‌های تجربی، عددی و نشت‌های واقعی

غلامرضا خانلری^{*}، محمد ملکی، رضا حیدری ترکمانی، سمیه علی‌پور،

فاطمه ناصری؛

دانشگاه بوعلی سینا، دانشکده علوم پایه، گروه زمین‌شناسی

تاریخ: دریافت ۹۲/۸/۱۱ پذیرش ۹۳/۴/۴

چکیده

یکی از بهترین روش‌ها برای بهبود مسئله حمل و نقل، استفاده از تونل‌های زیرزمینی است. در همین راستا، تونل بزرگراه نیایش شامل دو تونل شمالی و جنوبی تقریباً موازی است که به روش تونل‌سازی جدید اتریشی^۱ NATM در شمال تهران احداث شده است. حفر تونل و دیگر سازه‌های زیرزمینی منجر به بروز تغییرات چشم‌گیر در وضعیت تنش در اطراف سازه می‌گردد که این مسئله سبب نشت در سطح زمین می‌شود. در این پژوهش، میزان نشت سطحی زمین با استفاده از انواع روش‌های تجربی، عددی و هم‌چنین مقادیر نشت واقعی در پنج مقطع (CS-5 تا CS-1)، بررسی شده‌اند. روش تجربی به کار رفته، روش اوریلی و نبو (۱۹۸۲) و روش عددی نیز روش المان محدود با استفاده از نرم‌افزار PLAXIS_{2D} است. بر اساس نتایج بدست آمده، روش عددی در تمامی مقاطع (به استثناء مقطع ۳) همخوانی بیشتری با داده‌های نشت واقعی حاصل از اندازه‌گیری‌های برجا دارد. در حالی که روش تجربی در مقاطع ۲، ۴ و ۵ میزان نشت را بیشتر از نشت واقعی نشان می‌دهد. هم‌چنین نتایج حاصل از روش‌های یاد شده نشان می‌دهند که حداقل نشت، بیشتر از مقدار نشت مجاز و در محدوده اخطار است.

واژه‌های کلیدی: تونل نیایش، نشت زمین، NATM، روش تجربی، روش عددی، PLAXIS_{2D}

*نویسنده مسئول Khanlari_reza@yahoo.com

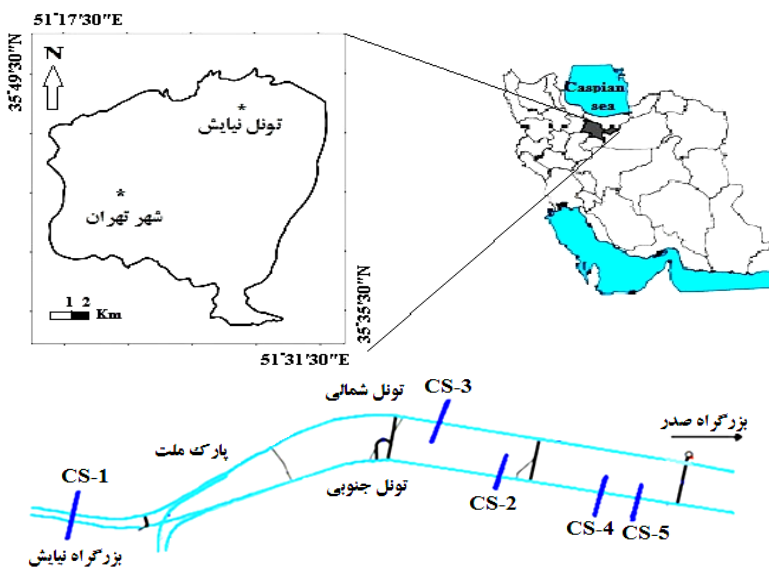
1. New Austrian Tunnelling Method

مقدمه

تهران به عنوان پایتخت، از شهرهای مهم و پرجمعیت است. با توجه به گسترش ترافیک در شمال تهران، احداث تونل بزرگراهی در این قسمت ضرورت دارد. شکل ۱ نمایی از مسیر پروژه را نشان می‌دهد. از مهم‌ترین مسائل در حفر تونل در نواحی کم عمق شهری و در زمین‌های نرم، موضوع نشست سطح زمین و تأثیر آن بر سازه‌ها و تأسیسات شهری مجاور است. یقیناً نشست سطحی زمین خطر تغییر شکل ساختمان‌ها را افزایش می‌دهد [۱]. بنا بر این روش حفاری باید به گونه‌ای باشد که میزان نشست زمین را به حداقل برساند. برای تونل‌های دوکلو و با مقطع غیردایره‌ای در زمین‌های نرم، روش تونل‌سازی جدید اتریشی (NATM) پیشنهاد شده است [۲]. محققان مختلف سه روش عمده برای پیش‌بینی میزان نشست زمین به روش NATM ارائه کردند که عبارتند از: ۱) روش نیمه‌تئوری (تجربی)، بر اساس روابط بهدست آمده از مشاهدات پیشین، ۲) آنالیزهای عددی مثل روش المان محدود که این روش مورد علاقه عام است و ۳) روش‌های شبکه عصبی و منطق فازی [۳]، [۴] و [۵]. هدف از این بررسی، پیش‌بینی وضعیت نشستهای حاصل از حفر تونل نیایش به روش تجربی و روش عددی (با استفاده از نرم‌افزار PLAXIS V.8.2) در پنج مقطع (CS-1 تا CS-5) در مسیر تونل مذکور است (شکل ۱). با توجه به این که از کیلومتر ۱+۵۴۰ تا ۲+۶۰۰ تونل شمالی و از کیلومتر ۱+۵۵۰ تا ۲+۶۸۰ تونل جنوبی، در مسیر ساختمان‌های مسکونی قرار می‌گیرند از این رو، پیش‌بینی نشست در این مقاطع ضروری است.

زمین‌شناسی و خصوصیات ژئوتکنیکی مسیر تونل نیایش

تهران روی نهشته‌های آبرفتی دوران چهارم زمین‌شناسی بنا شده است [۶]. آبرفت‌های مذکور با سیلاب‌هایی که در اواخر دوران سوم و هم‌زمان با برپایی ارتفاعات البرز از این ارتفاعات سرچشم‌گرفته‌اند، در نواحی دامنه‌ای و پست بر جای گذاشته شده‌اند. بخش اعظم تونل نیایش در سازند هزاردره (A) و در ورودی شرقی و قسمت میانی تونل شمالی در سازند کهربیزک (Bn) قرار گرفته است [۷]. مقاطع زمین‌شناسی مسیر بررسی شده برای تونل شمالی و جنوبی به ترتیب در شکل‌های ۲ الف و ب نشان داده شده‌اند.

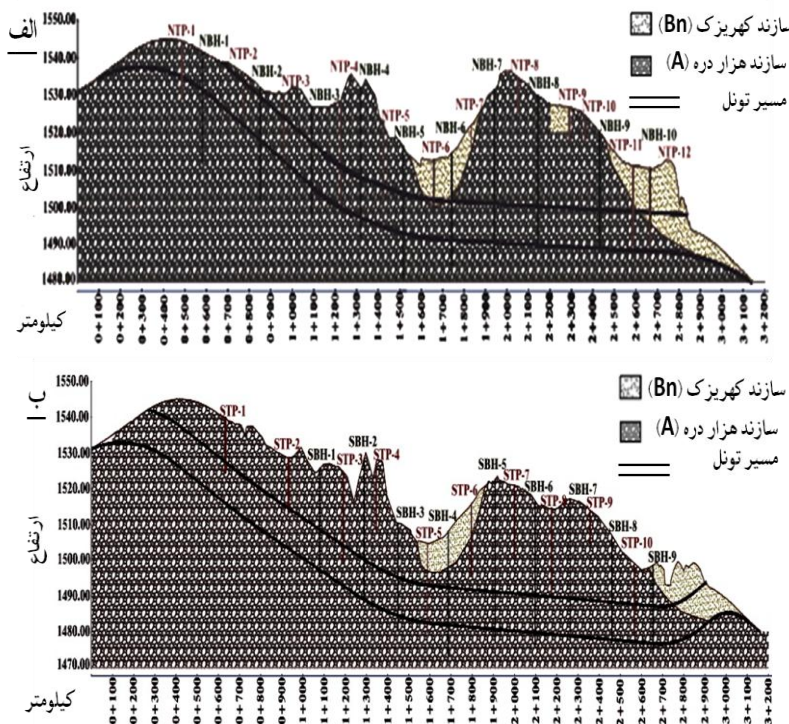


شکل ۱. موقعیت تونل نیایش و مقاطع بررسی شده در مسیر تونل

چنان‌که در شکل ۲ مشاهده می‌شود، سازند هزاردره (A) با ضخامت حدود ۱۲۰۰ متر شامل کنگلومرای همگن با سیمان قوی است که به‌طور موضعی دارای لایه‌ها و عدسی‌های رس و ماسه است. این سازند به صورت دگرشیب بهوسیله سازند کهریزک (Bn) پوشیده شده است. سازند کهریزک (Bn)، کنگلومرایی ناهمگن متتشکل از شن، ریگ و سنگ‌های آواری به اندازه قلوه سنگ است که زمینه‌ای بهاندازه لای و ماسه دارد. این سازند معمولاً چینه‌بندی ندارد و سیمان‌شدگی در آن ضعیف توسعه یافته است [۸].

به‌منظور بررسی‌های زیرسطحی و تعیین مشخصات ژئوتکنیکی مسیر پروژه، ۲۰ گمانه با عمق‌های ۲۵ تا ۴۵ متر و تعداد ۲۴ چاهک دستی به عمق‌های ۱۰ تا ۳۰ متر حفاری شده‌اند. در گمانه‌های حفاری شده آزمایش‌های پرسیومتری و لوفران انجام شده و آزمایش دانسیته بر جا، بارگذاری صفحه‌ای و برش مستقیم بر جا نیز در چاهک‌ها انجام شده است. علاوه بر آزمایش‌های بر جا، آزمایش‌های آزمایشگاهی نیز روی نمونه‌های به‌دست آمده از گمانه‌ها انجام شده است. با توجه به این که آبرفت‌های تهران در گذر زمان دچار تغییر ساختار شده‌اند و سیمان ثانویه بین آن‌ها تشکیل شده است از این‌رو، آزمایش‌های آزمایشگاهی باعث از بین

رفتن ساختار آن‌ها شده و نتایج دقیقی به دست نمی‌دهند [۷]. در نتیجه از نتایج حاصل از آزمایش‌های برجا، در روش عددی استفاده شده است که شامل نتایج آزمایش بارگذاری صفحه‌ای، برش مستقیم برجا و دانسته برجا است. جدول ۱ خلاصه‌ای از خصوصیات ژئوتکنیکی خاک‌های مسیر را نشان می‌دهد.



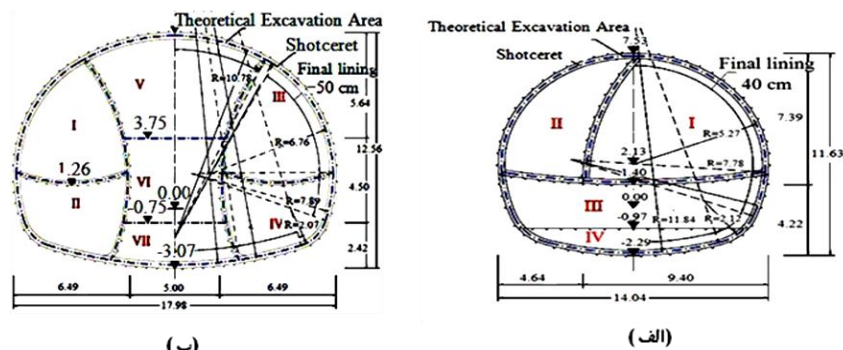
شکل ۲. مقاطع عرضی محدوده بررسی شده (الف: تونل شمالی، ب: تونل جنوبی) [۷]

جدول ۱. خصوصیات ژئوتکنیکی سازندهای مختلف زمین‌شناسی مسیر تونل [۷]

سازنده زمین‌شناسی	عمق لایه (m)	وزن واحد حجم (kN/m³)	مدول الاستیسیته (kN/m²)	چسبندگی (kN/m²)	نسبت پواسون	زاویه اصطکاک داخلی (°)
A	۱۵-۰	۱۸	۶۰۰۰	۳۰	۰/۲	۳۴
A	>۱۵	۱۹	۷۰۰۰	۴۰	۰/۲۶	۳۶
Bn	۲۰-۰	۱۸	۵۰۰۰	۲۰	۰/۲	۳۴

روش ساخت تونل نیایش

حفاری تونل نیایش با استفاده از روش تونل‌سازی جدید اتریشی (NATM) انجام شده است. مزیت اصلی این روش نسبت به بقیه روش‌های مرسوم تونل‌زنی، انعطاف‌پذیری زیاد آن است [۹]. تکنیک‌های بسیاری برای مقابله با شرایط گوناگون زمین در حفر تونل‌های بزرگ و غیردایره‌ای وجود دارند که از بین آن‌ها پتانسیل صرفه‌جویی از نظر هزینه، در این روش زیاد است [۱۰]-[۱۴]. تونل نیایش در مسیرهایی که از زیر ساختمان‌ها می‌گذرد، به صورت دوخطه و در بقیه مسیرها به صورت سه خطه طراحی شده است. مقاطع سه خطه عرض ۱۷/۹۸ متر و ارتفاع ۱۲/۵۶ متر دارد و برای تونل دوخطه به ترتیب برابر ۱۴/۰۴ و ۱۱/۶۳ متر است. مقاطع سه خطه در هفت مرحله و مقاطع دوخطه نیز در چهار مرحله حفاری شده‌اند. شکل ۳ مراحل حفاری را در تونل سه خطه و دوخطه نشان می‌دهد. سیستم نگهداری اولیه همزمان با حفاری تونل نصب می‌شود که شامل بتن پاشیده به ضخامت ۳۰ سانتی‌متر برای مقاطع سه خطه و ۲۵ سانتی‌متر برای مقاطع دوخطه است. همچنین پوشش نهایی تونل که شامل قطعات بتنی پیش‌ساخته است، به ضخامت ۵۰ سانتی‌متر برای تونل سه خطه و ۴۰ سانتی‌متر برای تونل دوخطه اجرا می‌شود [۷]. خصوصیات مکانیکی پوشش اولیه و نهایی برای تونل‌های سه خطه و دوخطه در جدول ۲ آورده شده است.



شکل ۳. مقطع عرضی از تونل و مراحل حفاری (الف) مسیر دوخطه، (ب) مسیر سه خطه [۷]

نشست سطح زمین در اثر حفر تونل

به طور کلی حفر تونل و دیگر سازه‌های زیرزمینی منجر به حذف توده‌ای از خاک و سنگ محل و بروز تغییرات چشم‌گیر در وضعیت تنش اطراف آنها می‌شود. اولین دلیل نشست زمین

جدول ۲. خصوصیات سیستم نگهداری اولیه و نهایی [۷]

سیستم نگهداری	D (cm)	E (kN/m ²)	ν	EA (kN/m)	EI (kNm ² /m)	W (kN/m/m)
پوشش اولیه (مسیر ۳ خطه)	۳۰	$۳*10^7$	۰/۲	$۳/75*10^{-6}$	$19/53*10^4$	۷/۲۵
پوشش نهایی (مسیر ۳ خطه)	۵۰	$۳*10^7$	۰/۲	$1/5*10^7$	$3/125*10^5$	۱۲/۵
پوشش اولیه (مسیر ۲ خطه)	۲۵	$۳*10^7$	۰/۲	$۳/75*10^{-6}$	$19/53*10^4$	۷/۲۵
پوشش نهایی (مسیر ۲ خطه)	۴۰	$۳*10^7$	۰/۲	$1/2*10^7$	$1/6*10^5$	۱۰

EA: صلبیت محوری (مدول الاستیستیه پوشش)، A: سطح مقطع پوشش، EI: صلبیت خمشی (I: ممان اینرسی پوشش)، W: وزن پوشش، ν : نسبت پواسون، D: ضخامت

بالای تونل، تمایل حرکت زمین به داخل تونل بعد از حفاری است [۱۵]. محققان مختلف همواره این مسئله را بررسی کرده‌اند تا با اتخاذ شیوه‌های مناسب میزان نشست را قبل از شروع عملیات ساخت برآورد کنند. پک (۱۹۶۹)^۱ گزارشی مدون و جمع‌آوری کلی از عملیات اجرایی تونل در زمین‌های نرم، تا آن زمان ارائه کرد. او نشان داد که منحنی نشست سطح زمین در اثر حفر تونل دارای توزیع نرمال است [۱۶]. اوتو^۲ و سگاستا^۳ (۱۹۹۶)، روابط تجربی دیگری ارائه کردند که مبنی بر محیط غیرالاستیک است و نشان دادند که جابه‌جایی‌های ایجاد شده با افزایش فاصله از محور تونل، به طور نمایی کاهش می‌یابد [۱۷]. لاکانتان^۴ و پولوس^۵ (۱۹۹۶)، نیز با بررسی این موضوع به روش تحلیلی، روابطی را برای نشست‌های سطحی و تغییر شکل‌های جانبی خاک در اثر حفر تونل ارائه کردند و با مقایسه روابط به دست آمده با پنج مورد واقعی به این نتیجه رسیدند که منحنی نشست مبنی بر روابط مذکور کمی عریض‌تر از منحنی‌های مشاهده شده است [۱۸]. سلبی^۶ (۱۹۹۹)، با استفاده از دو روش عددی اجزای محدود و تفاضل محدود، به بررسی و مدل‌سازی تونل‌هایی در انگلستان پرداخت و با مقایسه

1. Peck
6. Selby

2. Ooteo

3. Sagaseta

4. Loganathan

5. Poulos

نتایج به دست آمده با مقادیر تجربی به این نتیجه رسید که روش‌های عددی مذکور به ترتیب منحنی نشست را کم عمق‌تر و عریض‌تر از مقادیر مشاهده شده پیش‌بینی می‌کنند [۱۹]. چو^۱ و بویت^۲ (۲۰۰۲)، وضعیت نشست در تونل بلغاست و تونل مکزیکوسیتی را با روش‌های تجربی و تحلیلی (برداشت‌های صحرایی) و عددی (نرم‌افزار PLAXIS) باهم مقایسه کردند و به این نتیجه رسیدند که تطابق خوبی بین این روش‌ها وجود دارد [۲۰]. محمود توقلو^۳ (۲۰۱۱)، به بررسی نشست ناشی از حفر تونل‌های دوقلو در استانبول، پرداخت. بدین منظور مقاطعی با عدد SPT کم که جزء زمین‌های سست به حساب می‌آیند، بررسی شدند [۱]. وحدتی و همکاران (۲۰۰۹)، با استفاده از نرم‌افزار PLAXIS به بررسی نشست حاصل از حفر خط ۲ تونل تبریز پرداخته‌اند و اثر آن را بر روی میزان نشست بازار زیرزمینی واقع بر روی تونل، بررسی کردند [۲۱]. حسن‌پور و همکاران (۲۰۱۲)، با استفاده از سه روش تحلیلی، عددی و برداشت‌های برجا، به بررسی نشست سطح زمین در اثر حفر تونل متروی استانبول پرداختند. برای تحلیل عددی، از نرم‌افزار تفاضل محدود FLAC_{3D} و برای تحلیل تجربی، از روش هرزوج^۴ (۱۹۸۵) (رابطه ۶) استفاده کردند. این تونل‌ها، به صورت دوقلو است و از روش NATM برای حفاری آن استفاده شده است. نتایج این تحلیل نشان داد که با افزایش سریار، میزان نشست نیز افزایش می‌یابد [۲۲]. نظر به اهمیت بروز نشست‌های ناشی از حفر تونل در مناطق شهری شرکت عمران راه‌وار پژوهش به عنوان مشاور پروژه مذکور، حد مجاز نشست را ۷ میلی‌متر، از ۷ تا ۱۵ میلی‌متر را حدالارم، از ۱۵ تا ۳۰ میلی‌متر حد اخطار و بیش از ۳۰ میلی‌متر را ممنوع الورود اعلام کرده است. با توجه به این امر برای کنترل نشست‌ها با مقادیر مجاز، اندازه‌گیری‌های برجا، به روش‌های تجربی و روش عددی توجه شده است.

تخمین نشست سطحی به کمک روش‌های تجربی^۵

پک (۱۹۶۹)، اولین رابطه تجربی را در باره توزیع نشست سطح زمین در اثر حفر تونل ارائه کرد (رابطه ۱). به عقیده این محقق، توزیع عرضی نشست سطحی تقریباً شبیه به منحنی چگالی احتمال نرمال است [۱۶]. پک (۱۹۶۹) و اوریلی^۶ و نیو^۷ (۱۹۸۲)، منحنی گوسی برای

1. Chou 2. Bobet 3. Mahmutoglu 4. Herzog
5. Empirical Methods 6. O'Reilly 7. New

ارزیابی میزان نشست کوتاه مدت در اثر حفر تونل را برای تونل‌های منفرد، ارائه کردند [۱۵]، [۱۶]. پارامترهای نشست استفاده شده در روش تجربی در شکل ۴ نشان داده شده است [۴].

$$S = S_{\max} \times e^{\left(\frac{-X^2}{2i^2}\right)} \quad (1)$$

در این رابطه، S نشست سطح زمین در فاصله X از محور تونل است، (mm)، S_{\max} بیشترین نشست در خط بالای تونل (mm)، χ فاصله افقی از محور تونل (m) و i طول نقطه عطف منحنی نشست عرضی نسبت به محور تونل (m) است. چندین روش برای محاسبه نقطه عطف منحنی (i) پیشنهاد شده است (رابطه‌های ۲ تا ۴). در این پژوهش، محاسبه i بر اساس میانگین روابط تجربی مذکور به دست آمده است (رابطه ۵):

$$i_1 = 0.386 \times Z_0 + 2.84 \quad (2)$$

$$i_2 = 0.5 \times Z_0 \quad (3)$$

$$i_3 = 1.392 \cdot \left(\frac{D}{2}\right) \cdot \left(\frac{Z_0}{D}\right)^{0.704} \quad (4)$$

$$i = \frac{i_1 + i_2 + i_3}{3} \quad (5)$$

که در آن Z_0 عمق محور تونل (m) و D قطر تونل (m) است. آریوگلو^۱ (۱۹۹۲) [۲۳] رابطه (۲) و (۴)، گلوسوپ^۲ (۱۹۷۸) [۲۴] رابطه (۳)، و تیز ارسلی^۳ و همکاران (۲۰۰۵) [۴] رابطه (۵) را برای محاسبه میانگین نقطه عطف (i_{ave}) پیشنهاد کرده‌اند. همچنین هرزوگ (۱۹۸۵) مدلی برای ارزیابی حداقل نشست سطحی برای تونل‌های منفرد ارائه کرده است (رابطه ۶) [۲۵].

$$S_{\max} = 0.785 \cdot (\gamma_n Z_0 + \sigma_s) \cdot \left(\frac{D^2}{i \cdot E}\right) \quad (6)$$

در رابطه (۶) E مدول الاستیسیته (kN/m^2), γ_n وزن واحد حجم طبیعی سازند (kN/m^3), Z_0 عمق محور تونل (m), σ_s کل بار اضافی (kN/m^2) است. فرضیاتی برای آنالیز تونل مذکور استفاده شده که عبارتند از:

۱. تونل کم عمق است و مبحث نشست بیشتر در نواحی کم عمق مشکل آفرین است که

باید در نظر گرفته شود،

۲. تونل از میان مصالح شنی و ماسه‌ای عبور می‌کند (برای سهولت مدل‌سازی در نرم‌افزار

لنژهای رسی در نظر گرفته نشده‌اند)،

۳. روش حفاری تونل NATM است،

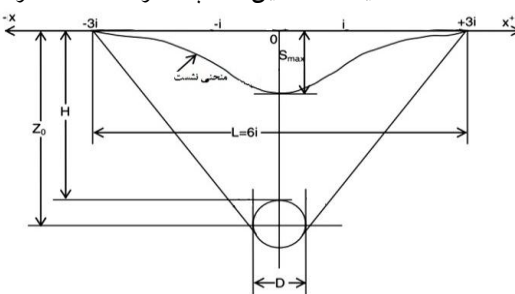
۴. به دلیل فاصله زیاد دو تونل از یک‌دیگر اندرکنش دو تونل در نظر گرفته نشده است. البته

به استثناء مقطع ۱، زیرا در این مقطع فاصله دو تونل کم است،

۵. نشست تحکیمی دراز مدت تونل و حجم از دست رفته در نظر گرفته نشده است، زیرا

در بحث تحکیم پارامتر زمان نیز وارد می‌شود و با توجه به این‌که دسترسی به اعداد

نشست واقعی در دراز مدت نیست، از این‌رو، پارامتر زمان در نظر گرفته نشده است.



شکل ۴. پارامترهای نشست [۴]

سایر روابط تجربی که برای ارزیابی میزان نشست استفاده می‌شود، در زیر آورده شده‌اند. این

روابط را اوریلی و نیو (۱۹۸۲) ارائه کرده‌اند [۱۵]:

$$\frac{ds}{dx} = 0.606 \left(\frac{S_{max}}{i} \right) \quad (7)$$

$$H_{max} = i \sqrt{3} \quad (8)$$

که در این روابط ds/dx حداقل شیب منحنی نشست نسبت به فاصله از محور تونل بر حسب متر و H_{max} فاصله عمودی بین سطح زمین (سطحی که گودال نشست در آن قرار دارد) و تاج تونل بر حسب متر را نشان می‌دهد.

با استفاده از روابط (۵، ۶، ۷ و ۸) و جدول ۳ خطر آسیب به ساختمان‌ها در اثر نشست سطحی، قابل پیش‌بینی و طبقه‌بندی است. پارامترهای ورودی و نتایج پیش‌بینی نشست به روش تجربی در جدول ۴ ارائه شده است. چنان‌که مشاهده می‌شود، بیشترین نشست و شیب

به ترتیب ۲۹ میلی‌متر و ۰/۰۰۲۳ متر هستند که متعلق به یک مقطع است و با توجه به رده‌بندی خطر تخریب ساختمان‌ها که ارسلی و همکاران (۲۰۰۵) [۴] ارائه کرده است، ساختمان‌های منطقه در محدوده کم خطر قرار می‌گیرند (جدول ۳). اما برای افزایش درجه اطمینان نسبت به این موضوع، لازم است با استفاده از روش‌های دیگر نیز این موضوع بررسی شود. از این رو، با استفاده از روش عددی که دقیق‌تر است میزان نشست به دست آمده است و در نهایت این دو روش تجربی و عددی با نشت‌های واقعی، مقایسه شده است تا به نتایج مطلوب و واقعی دست یابیم.

جدول ۳. رده‌بندی خطر تخریب ساختمان‌ها [۴]

ds/dx	S_{max} (mm)	ارزیابی خطر
۰/۰۰۲>	۱۰>	قابل چشمپوشی
۰/۰۰۲-۰/۰۰۵	۱۰-۵۰	کم
۰/۰۰۵-۰/۰۲	۵۰-۷۵	متوسط
۰/۰۲<	۷۵<	زیاد

روش عددی برای ارزیابی حداکثر نشست سطحی

با وجود این که روش‌های غیرعددی مثل روش تجربی در برخی از موارد پیش‌بینی‌های نسبتاً خوبی از پاسخ زمین به روند احداث تونل را ارائه می‌دهند، اما یک یا چند عامل محدود در این روش در نظر گرفته می‌شود. در حالی که با روش عددی همه عوامل مؤثر بر میزان نشست، در تحلیل‌ها دیده می‌شوند. در دهه اخیر مدل‌سازی عددی یکی از روش‌های غالب برای حل مسائل مهندسی است که آنالیزهای پایداری و پیش‌بینی رفتار سیستم را در بر می‌گیرند [۲۶]. روش‌های عددی مختلفی (مثل المان محدود، تفاضل محدود، المان مرزی، المان گستته و روش‌های ترکیبی) به‌طور گسترده برای مدل‌سازی حفاری‌های زیرزمینی استفاده می‌شوند [۲۷]. در این پژوهش نیز برای مدل‌سازی حفاری تونل نیایش از نرم‌افزار PLAXIS_{2D} که روشی عددی المان محدود است، استفاده شده است.

جدول ۴. پیش‌بینی میزان نشست به‌روش تجربی برای ۵ مقطع در مسیر تونل نیایش

پارامترهای تخمینی				پارامترهای ورودی					نام مقطع
H _{max} (m)	ds/dx (m)	S _{max} (m)	I (m)	σ _s (kN/m ²)	γ _n (kN/m ²)	E (kN/m ²)	Z ₀ (m)	D (m)	
۱۲/۸۲۵	۰/۰۰۲۳	-۰/۰۲۹	۷/۴	۰	۱۸	۱۵۰۰۰	۱۲	۱۴	CS.1
۱۵/۷۲	۰/۰۰۱۱	-۰/۰۱۷	۹/۰۸	۱۰۰	۱۷/۵	۲۵۰۰۰	۱۶	۱۲	CS.2
۱۸/۷۷	۰/۰۰۱۱	-۰/۰۰۲	۱۰/۸۴	۱۴۰	۱۷	۲۴۰۰۰	۲۰	۱۲	CS.3
۲۶/۱۷	۰/۰۰۰۸	-۰/۰۲۱	۱۵/۱۱	۱۷۰	۱۸	۲۴۰۰۰	۳۰	۱۲	CS.4
۱۴/۱۷	۰/۰۰۱۲	-۰/۰۱۶	۸/۱۸	۶۰	۱۷	۲۳۰۰۰	۱۴	۱۲	CS.5

انتخاب مدل رفتاری خاک

معمولًاً محیط‌های خاکی دارای خواص و رفتارهای بسیار متفاوت هستند. مدل‌های رفتاری بسیاری برای خاک تعریف شده است که از آن جمله می‌توان مدل‌های الاستیک، الاستوپلاستیک و الاستوویسکوپلاستیک را نام برد. مدل‌های الاستیک می‌توانند خطی و غیرخطی باشند. خاک در مدل‌های الاستوپلاستیک در تنش‌های کم به صورت الاستیک عمل می‌کند و در تنش‌های بیش‌تر شروع به گسیخته شدن می‌کند و اصطلاحاً پلاستیک می‌شوند [۲۶، [۲۸، [۲۹]. در طول مکانیزم گسیختگی، میزان کرنش‌های خمیری متفاوت است و هر مقدار که تغییر شکل‌های برشی افزوده شود، به‌واسطه سخت‌شوندگی برشی مقدار پارامترهای برشی نیز افزوده می‌شود که این به معنای ظهور تدریجی ضریب اصطکاک و سایر مشخصات مقاومتی به‌واسطه ایجاد کرنش خمیری است [۳۰]. با توجه به این رفتار، انتخاب مدل رفتاری که بتواند این شرایط را مدل‌سازی کند، ضروری است. نرم‌افزار PLAXIS مدل‌های رفتاری پیشرفته‌ای ارائه می‌کند. انواع مدل‌های موجود در این نرم‌افزار شامل: مدل نرم شونده، مدل سخت شونده و مدل نرم‌شونده به همراه خرزش است. راهنمای نرم‌افزار استفاده از مدل ترکیبی الاستیک و پلاستیک را، برای تحلیل رفتار خاک در اثر حفر تونل پیشنهاد می‌کند. مدل خاک سخت‌شونده قابلیت ارضی این رفتار خاک را دارد. در این قسمت، مدل رفتاری سخت‌شونده، به‌دلیل دقت زیاد و وجود متغیرهای بیش‌تر استفاده شده و البته حل آن به صورت کرنش صفحه‌ای است [۳۰].

مایر^۱ و همکاران (۱۹۹۶) نیز از این مدل برای تعیین نشتست در تونل‌هایی که به روش NATM ساخته می‌شوند، بهره برد و بیان کردند که نتایج حاصل از تحلیل با اندازه‌گیری بر جا نشتست (داده‌های ابزار دقیق)، بسیار نزدیک است [۳۱].

معرفی مدل خاک سخت شونده^۲

مدل سخت‌شونده خاک در واقع، توسعه‌ای از مدل موهر کولمب است که این مدل مربوط به اضافه کردن مکانیزم خمیری هم‌سان با سطح تسليیم کلاهکی است. شکل ۵ سطوح تسليیم مدل سخت‌شونده و متغیرهای مدل سخت‌شونده را نشان می‌دهد. شکل ۵ الف انواع منحنی‌های تنش-کرنش آزمایشی سه‌محوری زهکشی شده استاندارد را نشان می‌دهد. در بارگذاری اولیه رفتار به صورت غیرخطی است و تنش شکست بر اساس معیار موهر کولمب تعیین می‌شود. مدول سختی در این قسمت، E_{50} است. در برابر E_{50} که کرنش الاستیک و پلاستیک را مشخص می‌کند، E_{ur} فقط مدول الاستیک را مشخص می‌کند. E_{ur} در ارتباط با نسبت پواسون (ν_{ur})، رفتار باربرداری-بارگذاری مجدد زمین را نشان می‌دهد. طبق رابطه (۹) هر دو مدول بارگذاری و مدول باربرداری-بارگذاری مجدد به سطوح تنش وابسته‌اند [۳۰].

$$a = c' \cdot \cot \phi' \quad (9)$$

$$E_{50} = E_{50}^0 \left(\frac{\sigma'_3 + a}{p_0 + a} \right)^m, E_{ur} = E_{ur}^0 \left(\frac{\sigma'_3 + a}{p_0 + a} \right)^m$$

معمولًاً یک بار در نظر گرفته می‌شود. مقدار m می‌تواند با آزمایش تحکیم و سه‌محوری محاسبه شود و مقدار آن از ۰/۵ تا ۱ به ترتیب برای ماسه و رس متغیر است.

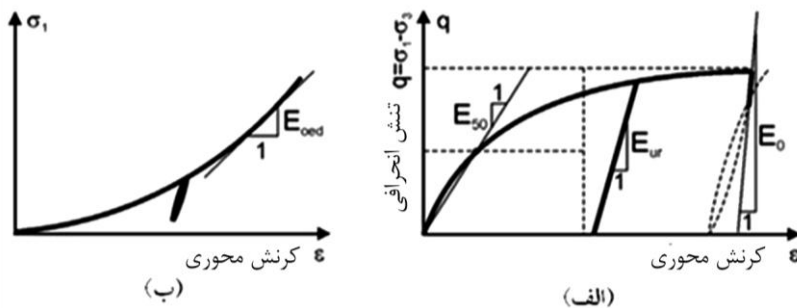
چنان‌چه خصوصیات زمین مشابه با مواد سنگی باشد، مقدار m کمتر از ۰/۵ در نظر گرفته می‌شود. شکل ۵ ب نتایج آزمایش تحکیم را نشان می‌دهد. در مدل سخت‌شونده خاک، سختی تحکیمی از رابطه (۱۰) به دست می‌آید:

1. Mair

2. Hardening Soil Model (HS Model)

$$E_{oed} = E_{oed}^0 \left(\frac{\sigma'_1 + a}{p_0 + a} \right)^m \quad (10)$$

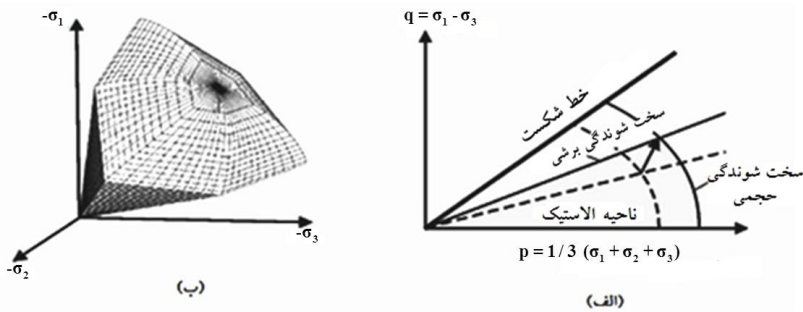
که در این رابطه E_{oed}^0 سختی تانزانتی^۱ در آزمایش تحکیم (kN/m^2) است. شکل ۶ الف سطوح سخت‌شوندگی برشی و حجمی را نشان می‌دهد. شکل ۶ ب سطح تسليم کل در فضای تنش را نشان می‌دهد. در نرم افزار استفاده شده تعداد ۸ پارامتر به عنوان ورودی انتخاب شده‌اند که عبارتند از زاویه اصطکاک داخلی (φ)، چسبندگی (C)، عمق (m)، زاویه اتساع (ψ)، نسبت پواسون (v_{ur})، E_{oed} ، E_{50} و E_{ur} . به منظور دست‌یابی به شاخص‌های پیشرفته مدل سخت‌شونده، با استفاده از آزمایش بارگذاری صفحه‌ای داده‌ها کالیبره شده و شاخص‌های یادشده استخراج شده‌اند [۳۱].



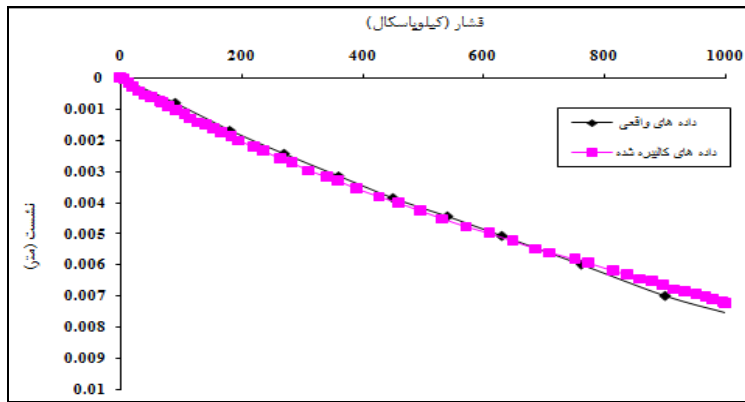
شکل ۵. مدل سختی خاک (الف) مدل محاسبه شده با آزمایش سه‌محوره، (ب) مدل محاسبه شده با آزمایش تحکیم [۳۱]

به منظور کالیبراسیون داده‌ها آزمایشی مانند آزمایش بارگذاری صفحه‌ای در نرم‌افزار PLAXIS مدل می‌شود و با تغییر مشخصات سختی در مدل، داده‌های هم‌خوان با داده‌های آزمایش استخراج می‌شود. در شکل ۷ نمونه آزمایشگاهی و نمونه مدل‌شده منطبق بر آن آورده شده است. در جدول ۵ با توجه به مشخصات فیزیکی و مکانیکی مصالح و بر اساس داده‌های کالیبره شده، پارامترهای مدل سخت‌شونده به‌طور متوسط تعیین شده است.

1. Tangent stiffness



شکل ۶. سطح تسلیم برای مدل خاک سخت‌شونده در $C=0$ (الف) سخت‌شوندگی برشی و حجمی در فضای $q-p$, (ب) سطح تسلیم کل در فضای تنش‌های اصلی [۳۱]



شکل ۷. نمونه آزمایشگاهی و نمونه مدل شده منطبق بر آن

در این نرمافزار برای مدل‌سازی ساخت تونل، المان‌های ۱۵ گرهی و ۶ گرهی وجود دارد. المان ۱۵ گرهی بسیار دقیق‌تر از المان ۶ گرهی است اما سرعت محاسبات را کم می‌کند. البته در این پژوهش از المان ۱۵ گرهی به علت افزایش دقت مقطع سه‌خطه نشان داده شده است. در شکل ۸ الف مدل شبکه‌بندی المان محدود برای مقطع سه‌خطه نشان داده شده است. عرض این مدل ۸ متر و ارتفاع آن ۸۰ متر (این مدل به‌گونه‌ای انتخاب می‌شود که توزیع تنش‌ها به آن قسمت‌ها نرسد، البته در اینجا کمی بیشتر در نظر گرفته شده است) مورد نظر است. در شکل ۸ ب مدل شبکه‌بندی المان محدود برای مقطع دو خطه ارائه شده است. به علاوه مدل سخت‌شونده برای خاک و مدل الاستیک نیز برای نگهداری تونل استفاده شده و به‌منظور مدل کردن لاینینگ از المان صفحه‌ای استفاده شده است. لازم به توضیح است که در این مدل‌سازی، شبکه‌بندی

متوسط تا ریز به کار رفته و شبکه‌بندی در نواحی نزدیک تونل برای افزایش دقت ریزتر می‌شود. در ادامه مدل مشبکه‌بندی المان محدود و جابه‌جایی‌های قائم خاک برای مقاطع سه‌خطه و دوخطه نشان داده شده و نمودارهای نشست سطح زمین در اثر حفر تونل در مقاطع مختلف، ارزیابی شدند. برای مدل‌سازی بار ساختمان‌ها به ازای هر طبقه ساختمان باری معادل ۱۰ کیلو نیوتن بر متر مربع در نظر گرفته شده است [۳۲]. وضعیت تنش برجا، از پارامترهای مهم در مدل‌سازی خصوصاً تونل‌ها است. در این بررسی، مقدار پارامتر K برابر $0/8$ در نظر گرفته شده است.

جدول ۵. مشخصات مکانیکی خاک (استخراج شده از داده‌های کالیبره شده)

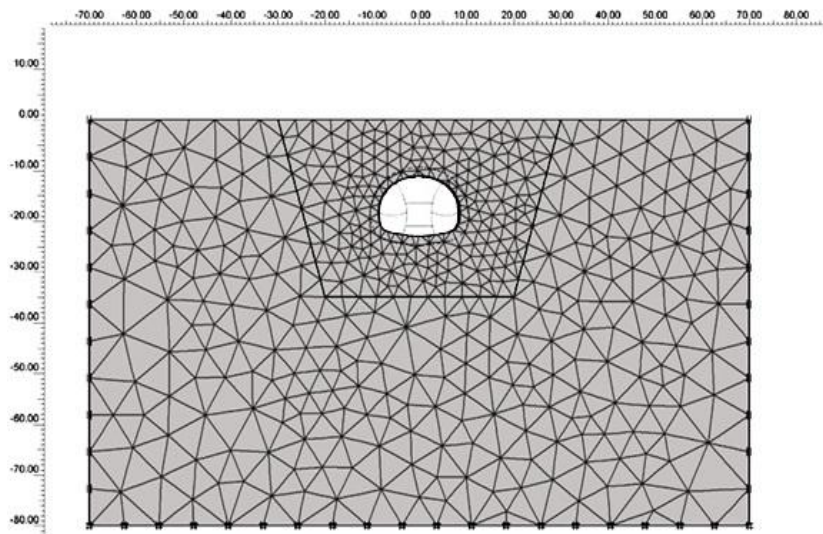
E_{oed}^{ref} (kN/m ²)	E_{ur}^{ref} (kN/m ²)	E_{50}^{ref} (kN/m ²)	v_{ur}	ψ^o	φ^o	C (kN/m ²)	نوع خاک	عمق (m)
۴۰۰۰	۱۲۰۰۰	۴۰۰۰	۰/۲	۱۰	۴۰	۲۷	GC	۰-۱۰
۴۸۰۰۰	۱۴۰۰۰	۴۸۰۰۰	۰/۲	۵	۳۵	۳۰	GM	۱۰-۱۸
۵۶۰۰۰	۱۷۰۰۰	۵۶۰۰۰	۰/۲	۱۰	۴۰	۲۷	SC	۱۸<

به‌منظور تطابق بیشتر مدل در نظر گرفته شده با شرایط واقعی پروژه، مراحل حفاری و خاک‌برداری با همان ترتیبی که در شکل ۳ نشان داده شده است، در مقاطع دوخطه و سه‌خطه مدل‌سازی شده و روباههای اضافی نیز در نرم‌افزار اعمال شده است. همچنین جابه‌جایی‌های قائم زمین برای مقاطع سه‌خطه و دوخطه در شکل‌های ۹ الف و ب نشان داده شده است.

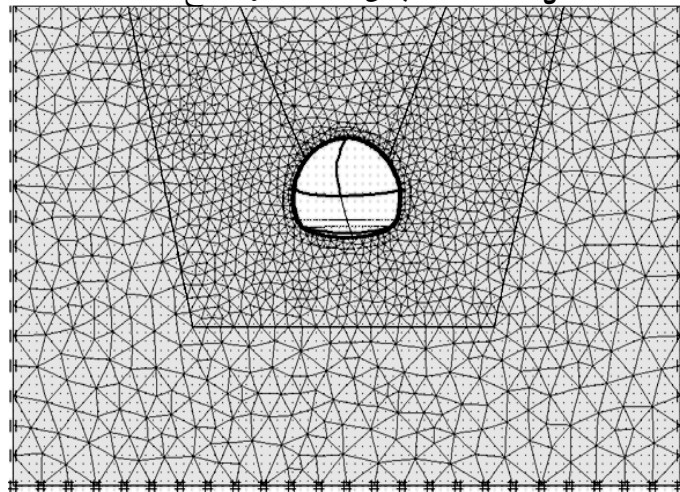
مقایسه روش‌های مختلف ارزیابی نشست سطحی با نتایج نشست واقعی

با استفاده از کشش‌سنج گمانه‌ای تغییر مکان زمین در طول محور گمانه اندازه‌گیری شده است. این کشش‌سنج‌ها در گمانه‌های قائم حفاری شده قرار می‌گیرند. همچنین نقاط رفتار‌سنج سطحی نیز در قسمت فوقانی گمانه‌های کشیدگی سنج نصب شده و نشست سطح زمین با ترازگیری ارتفاع انجام خواهد شد. در مقاطع اشاره شده (شکل ۱) با توجه به سه روش نامبرده میزان نشست سطحی تونل بررسی شده است. در ادامه با استفاده از روش عددی، تجربی و داده‌های واقعی منحنی‌های نشست-فاصله ترسیم شده و نتایج با یکدیگر مقایسه شده‌اند. همه

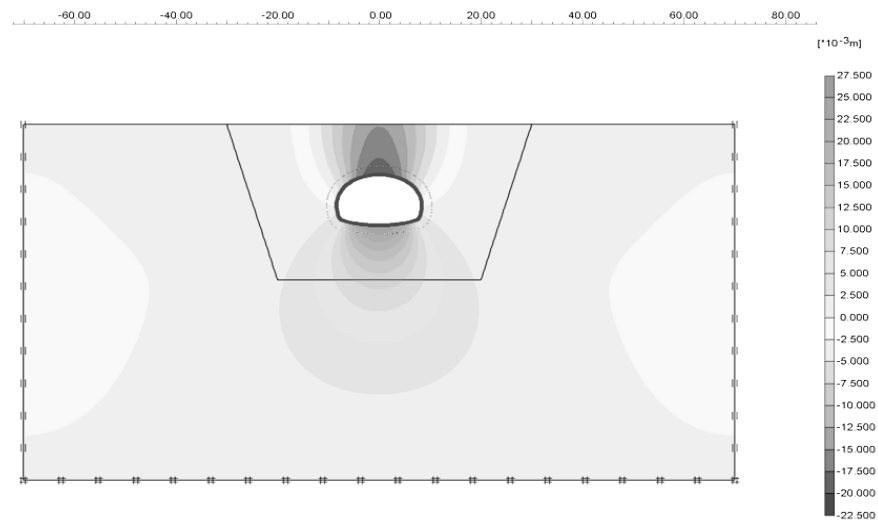
مشخصات مقاطع اعم از موقعیت، ضخامت خاک، روباره اضافی و دانه‌بندی در جدول ۶ به صورت خلاصه آورده شده است.



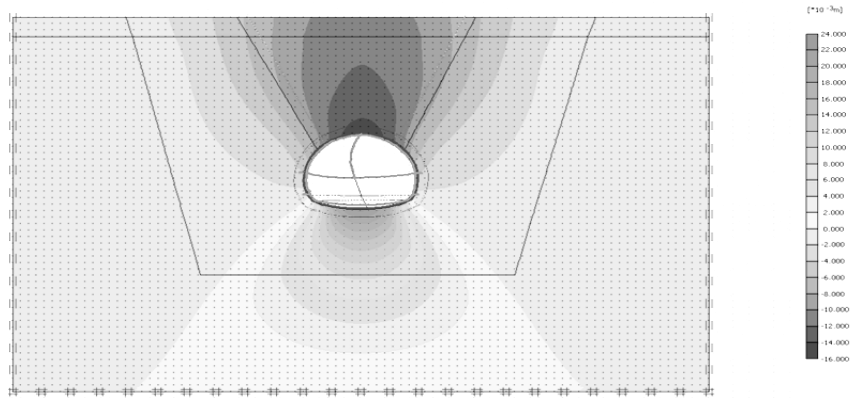
شکل ۸. اف) مدل‌بندی المان محدود مقاطع سه خطه



شکل ۸. ب) مدل‌بندی المان محدود مقاطع دو خطه

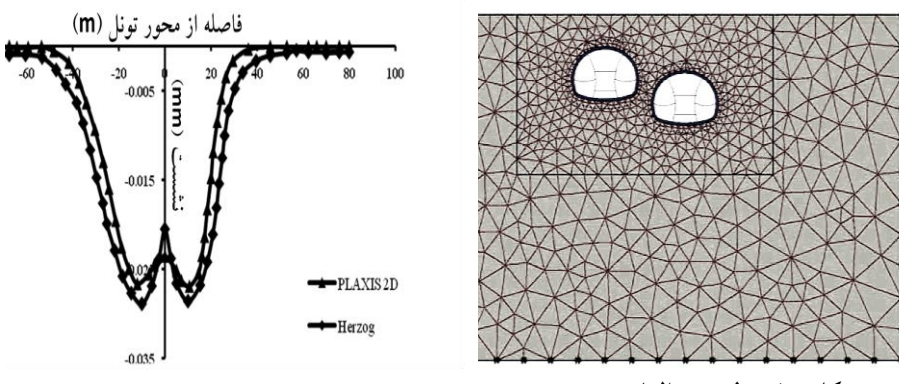


شکل ۹. الف) جابه جایی های قائم برای مقطع سه خطه

شکل ۹. ب) جابه جایی های قائم برای مقطع دو خطه
جدول ۶. مشخصات مقاطع بررسی شده در مسیر تونل نیایش

دانه‌بندی	روپاره اضافی	ضخامت خاک (متر)		موقعیت	شماره مقطع
		تونل جنوبی	تونل شمالی		
GM-GC	----	۱۳	۷/۵	ورودی غربی تونل	CS-1
GC-SC	دارد	۱۴	----	۱+۷۲۵	CS-2
GC-SC	دارد	----	۲۰	۱+۷۷۰	CS-3
GM و SC .GC	دارد	۳۰	----	۲+۴۵۰	CS-4
GM و SC .GC	دارد	۱۴	----	۲+۵۳۰	CS-5

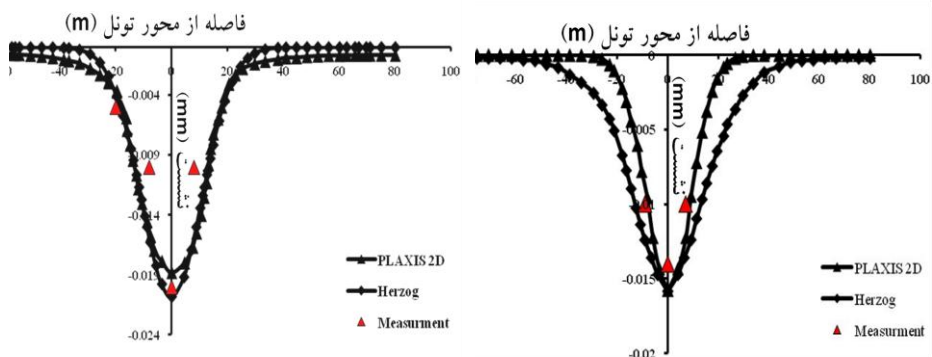
در مقطع ۱، که در ورودی غربی تونل نیایش واقع شده است، فاصله بین دو تونل کم است و محدوده میانی بین دو قسمت کناری تونل در حدود ۴ متر است، این مسئله باعث تأثیر حفر دو تونل بر میزان نشست خواهد شد. بنا بر این، این حالت وضعیتی بحرانی بر میزان نشست به حساب می‌آید. در شکل ۱۰، مدل مشبندی المان محدود دو تونل نشان داده شده است. در این مقطع داده‌های واقعی وجود ندارد، از طرفی ساختمانی در مسیر تونل واقع نشده است، اما به علت نزدیک بودن دو تونل به یکدیگر این مقطع نیز مدل‌سازی شده است. از این رو، فقط از روش تجربی و عددی استفاده شده است (شکل ۱۱). میزان نشست به دست آمده با روش تجربی بیشتر از مقادیر آن با روش عددی است. با توجه به این‌که روش‌های تجربی در تعداد پارامترهای مؤثر محدودیت دارند، از این رو، این مسئله سبب کاهش دقیق این روش نسبت به روش عددی می‌شود. نتایج نشان می‌دهد که در مقطع ۲ اندازه‌گیری‌ها با نتایج حاصل از روش عددی هم خوانی بیشتری دارند (شکل ۱۲). در مقطع ۳، بیشترین نشست اندازه‌گیری شده در هر سه روش، تقریباً با یکدیگر هم خوانی دارند (شکل ۱۳). در مقطع‌های ۴ و ۵، نشست‌های واقعی تطابق خوبی با روش عددی دارند (شکل ۱۴ و ۱۵). چنان‌که در تمامی مقاطع مشاهده می‌شود تعداد اطلاعات حاصل از نشست‌های واقعی، کم است و به سبب محدودیت داده‌های اندازه‌گیری شده، در این مقاله بهناچار به این تعداد بستنده شده است.



شکل ۱۰. مدل‌بندی المان محدود

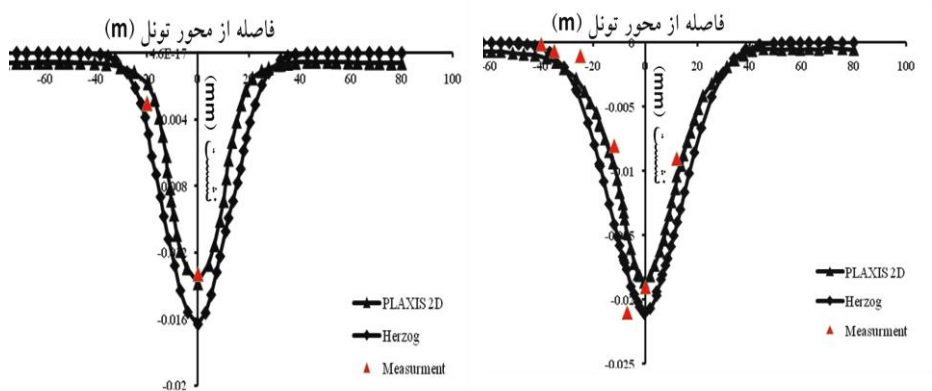
شکل ۱۱. الگوی نشست برای مقطع CS-1

(۰+۵۰۵ کیلومتر)



شکل ۱۳. الگوی نشست برای مقطع CS-3

شکل ۱۲. الگوی نشست برای مقطع CS-2



شکل ۱۵. الگوی نشست برای مقطع CS-5

شکل ۱۴. الگوی نشست برای مقطع CS-4

بحث

نتایج نشست به دست آمده از روش‌های تجربی، عددی و اندازه‌گیری‌های برجا در پنج مقطع از مسیر تونل بررسی شده‌اند. چنان‌که که نمودارهای نشست نشان می‌دهند، هر سه روش شامل اندازه‌گیری‌های برجا، تجربی و عددی، همخوانی خوبی با هم دارند. اگرچه اندازه‌گیری‌های بر جا به استثناء یکی از مقاطع (مقطع ۳) همخوانی بیشتری با نتایج روش عددی نشان می‌دهند. نتایج میانگین حداکثر نشست سطحی (S_{max}) در همه مقاطع به روش تجربی، عددی و نشست‌های واقعی در جدول ۷ خلاصه شده است.

جدول ۷. مقایسه مقادیر نشست سطحی در روش‌های مختلف

S_{\max} (mm) روش عددی	S_{\max} (mm) روش تجربی	S_{\max} (mm) نشست واقعی (ابزار دقیق)	نام مقطع
۲۶	۲۹	----	CS-1
۱۵/۸	۱۷	۱۴	CS-2
۱۸/۸	۲۰	۲۰	CS-3
۱۹	۲۱	۱۹	CS-4
۱۲/۸	۱۶	۱۳/۳	CS-5

نتیجه‌گیری

در این تحقیق، میزان نشست سطحی زمین با استفاده از انواع روش‌های تجربی، عددی و مقادیر اندازه‌گیری‌های برجا، بررسی شده است. روش تجربی به کار رفته، روش اوریلی و نیو PLAXIS_{2D} (۱۹۸۲) و روش عددی به کار رفته، روش المان محدود با استفاده از نرم‌افزار اس. بر اساس نتایج حاصل از اندازه‌گیری‌های برجا، روش‌های تجربی و روش عددی، حداقل نشست ناشی از حفر تونل به ترتیب ۲۰، ۲۹ و ۲۶ میلی‌متر است که بیش‌تر از نشست مجاز (در محدوده اخطر) است. در حالی که بر اساس بررسی تجربی و با استفاده از طبقه‌بندی ارسلبی و همکاران (۲۰۰۵)، ساختمان‌های منطقه مورد نظر از نظر نشست، در محدوده کم خطر قرار می‌گیرند. همچنان با توجه به اعمال پوشش اولیه و پوشش نهایی در تونل نیایش، ضریب اطمینان افزایش یافته و باعث ایمنی بیش‌تر ساختمان‌های مسیر می‌شوند. از طرف دیگر، سیمانی شدن ثانویه آبرفت‌های مسیر تونل سبب افزایش پایداری تونل می‌شود. نتایج حاصل از بررسی‌ها نشان می‌دهند که روش‌های عددی و تجربی، هم‌خوانی خوبی با یکدیگر دارند. البته نشست‌های واقعی با نتایج مدل‌سازی عددی هم‌خوانی بیش‌تری را نشان می‌دهند. هر چند که روش تجربی در مقاطع ۲، ۴ و ۵ میزان نشست را کمی بیش‌تر از اندازه‌گیری‌های برجا نشان می‌دهد. این مسئله می‌تواند به علت عدم دقت روابط ریاضی و نادیده گرفتن پارامترهای مقاومت برشی خاک (C و ϕ) در روابط تجربی باشد.

تشکر و قدردانی

از مهندسان مشاور پژوهش عمران راهوار و دکتر محمدعلی ارجمند که نویسنده‌گان را در این تحقیق از راهنمایی‌های خود بهره‌مند کرده‌اند، قدردانی می‌شود.

منابع

1. Mahmutoglu Y., "Surface subsidence induced by twin subway tunnelling in soft ground conditions in Istanbul", Bulletin of Engineering Geology and the Environment, Vol. 70, No. 1 (2011) 115-131.
2. Ng C.W.W., Lee K.M., Tang D.K.W., "Three-dimensional numerical investigations of new Austrian tunnelling method (NATM) twin tunnel interactions", Canadian Geotechnical Journal, Vol. 41, No. 3 (2004) 523-539.
3. Schmidt B., "Prediction of settlements due to tunnelling in soil: three case histories", Rapid Excavation and Tunnelling Conference Proceedings (1974) 1179-1199.
4. Ercelebi S.G., Copur H., Bilgin N., Feridunoglu C., "Surface settlement prediction for Istanbul metro tunnels via 3D FE and empirical methods", Tunnelling and Underground Space Technology, London, England (2005) 163-169.
5. Darabi A., Ahangari K., Noorzad A., Arab A., "Subsidence estimation utilizing various approaches-A case study: Tehran No. 3 subway line", Tunnelling and Underground Space Technology, Vol. 31 (2012) 117-127.
۶. آقانباتی ع، زمین‌شناسی ایران، سازمان زمین‌شناسی و اکتشافات معدنی کشور (۱۳۸۳).
۷. مهندسان مشاور پژوهش عمران راهوار، گزارش بررسی‌های ژئوتکنیک و مهندسی پی (۱۳۸۸).

۸. بربریان م، قریشی م، ارجنگ ا، مهاجر اشجعی ا، پژوهش و بررسی ژرف نو زمین ساخت و خطر زمین‌لرزه، گسلش در گستره تهران و پیرامون. گزارش شماره ۵۶ سازمان زمین‌شناسی کشور، چاپ دوم (۱۳۷۱).

9. Sauer G., Gold H., "NATM ground support concepts and their effects on contracting practices, In: Proceedings of the 9th Rapid Excavation and Tunnelling Conference (RETC)", Los Angeles (1989) 67-86.
10. McWilliam F., "Jet Setting under Bonn", Tunnel and Tunnelling, Vol. 23, No. 4 (1991) 29-31.
11. Murphy P., "Design and Construction of the A20 Round Hill Tunnels", Tunnels and Tunnelling (1993) 23-25.
12. Farias M.M., Junior A.H.M., Assis A.P., "Displacement control in tunnels excavated by the NATM: 3-D numerical simulations", Tunnelling and Underground Space Technology, Vol. 19 (2004) 283-293.
13. Yoo C.S., Shin H.K., "Behavior of tunnel face pre-reinforced with sub horizontal pipes", North American Tunnelling (2000) 463-468.
14. Yao D. T.C., Wu C.H., Chang Y. H., "An introduction to design and analysis of pipe roof in soft clay, 4th Cross Strait Seminar on Tunnel and Underground Construction" (2004).
15. O'Reilly M.P., New B.M., "Settlements above tunnels in the United Kingdom their magnitude and prediction", Proceedings of Tunnelling 82 Symposium, Brighton (1982) 173-181.
16. Peck R.B., "Deep excavation and tunnelling in soft ground", State of the Art. 7th International Conference on Soil Mechanics and Foundation Engineering, Mexico (1969) 225-290.

17. Oteo C. S., Sagaseta C., "Some spanish experiences of measurement and evaluation of ground displacements around urban tunnels", geotechnical aspects of undergoing construction in soft ground, (ed. Mair, R.J. and Taylor, R.N.), London (1996) 731-736.
18. Loganathan N., Poulos H.G., "Analytical prediction for tunnelling-induced ground movements in clays", Journal of Geotechnical and Geoenvironmental Engineering, Vol. 124, No. 9 (1998) 846-856.
19. Selby A.R., "Tunnelling in soil-ground movements and damage to buildings in Workington", UK, Geotech. and Geo Eng, Vol. 17 (1999) 351-371.
20. Chou W.I., Bobet A., "Predictions of ground deformations in shallow tunnels in clays", Tunnelling and Underground Space Technology, Vol. 17 (2002) 3-19.
21. Vahdatirad M.J., Ghodrat H., Firuzian S., Barari A., Torabi M., "Analysis of underground market settlement in Tabriz urban railway, European Journal of Scientific Research, Vol. 36 (2009) 595-605.
22. Hasanpour R., Chakeri H., Ozelik Y., Denek H., "Evaluation of surface Settlements in the Istanbul Metro in terms of analytical, numerical and direct measurements", Bulletin of Engineering Geology and the Environment, Vol. 3 (2012) 499-510.
23. Arioglu E., "Surface movements due to tunnelling activities in urban areas and minimization of building damages", Short Course, Istanbul Technical University, Mining Engineering Department (1992).

24. Glossop N.H., "Soil deformation caused by soft ground tunnelling", Ph.D. Thesis, University of Durham (1978).
25. Herzog M., "Surface subsidence above shallow tunnels", Bautechnik, Vol. 64, No. 11 (1985) 375-377 (in German).
۲۶. میرمیرانی ش.، تحلیل نشست زمین در اثر حفر تونل‌های مترو، پایان‌نامه کارشناسی ارشد، دانشگاه صنعتی اصفهان، اصفهان (۱۳۸۰).
27. Chakeri H., Hasanpour R., Hindistan M. A., Unver B., "Analysis of interaction between tunnels in soft ground by 3D numerical modeling", Bulletin of Engineering Geology and the Environment, Vol. 70, No. 3 (2010) 439-448.
۲۸. شریعتمداری ن.، فرزانه ا.، بررسی نشست سطح زمین در اثر حفر تونل مترو در تهران، مجموعه مقالات پنجمین کنفرانس تونل ایران، تهران، دانشکده فنی، دانشگاه تهران (۱۳۸۰)
- ۲۶۷,-۲۶۵
۲۹. وفاییان م.، ویژگی‌های نشست زمین در اثر حفر تونل‌های کم‌عمق، مجموعه مقالات پنجمین کنفرانس تونل ایران، تهران (۱۳۸۰) ۳۲۱-۳۱۳.
30. Manual PLAXIS, "Finite element code for soil and rock plasticity", Delft University of Technology, Netherlands.
31. Mair, R.J., Taylor, R.N., Burland, J.B., "Prediction of ground movements and assessment of risk of building due to bored tunnelling", Mair and Taylor, Balkema, Rotterdam (1996) 713-718.
۳۲. حیدری م. ر.، وفاییان م.، شریعتمداری ن.، تأثیر شبیب سطح زمین، بار خارجی و شکل مقطع تونل بر مقدار نشست زمین حاصل از حفر تونل‌های خاکی، ششمین کنفرانس تونل، دانشکده عمران دانشگاه علم و صنعت ایران (۱۳۸۲).